

国鉄構造物設計事務所 正員 増水尚志  
〃 山崎幹男

## まえがき

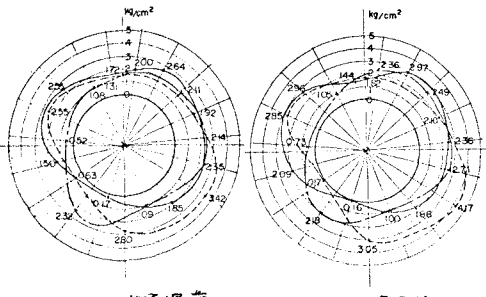
トンネルを併設する場合のトンネルと相互干渉については、種々の研究があるが、併設の影響を設計に考慮するための定規がないうのが現状である。しかしながら導入シールドトンネルの場合、軟弱地盤中に施工されることが多いと、市街地下と同一としてトンネル間隔を大きくできない場合が多いことを考慮すると、併設の影響は十分検討しておく必要がある。現在、併設の影響を定量的大綱記してある例と、2) BARTの設計法を掲げることができる。<sup>1)</sup> ここでは、トンネル純間隔がトンネル直徑の2倍以下となる場合に、併設距離を応じて地盤土圧を増加していく。<sup>2)</sup> また、純間隔を原則としたトンネル直徑以下にすべきであるとしている。また他に、地盤を弾性体と仮定して応力比を用いて併設の影響を考慮し、トンネル間隔をめぐらメートル、軸力の關係を示す<sup>3)</sup> が報告もある。わが国の施工例では、トンネル純間隔と同一通常の標準区間<sup>4)</sup>は、普通土、砂地盤ともにトンネル径前後を採用している場合が多い。ここでは、トンネル併設の影響を評価する場合の考え方について述べる。

表 後続トンネルによる直徑の変化

## 測定結果

右表は後続トンネル通過時のリンクの水平方向のたわみ変位量の測定結果を紹介する。表のデータは、併設トンネルの間隔がトンネル直徑の0.3~0.6倍の場合である。なお、この間隔は測定区間の内シネル間隔と同一で全区間での間隔ではない。水平方向の増加たわみ量は、トンネル直徑の0.1~0.4%である。わが国での後続トンネル通過時のリンク変形<sup>5)</sup>の報告例は数少ない。國鉄は筑武・東海道高線増工事<sup>6)</sup>で現場測定を行なったものと結果を得た。浜松町トンネルでは、後続シールドトンネル通過時に覆工の内縁の圧縮力が約500kg/cm<sup>2</sup>も増加し、この結果をめぐらメートル約10t/m、軸力が60t程度増加した。この時の土圧変化状況を図-1に示した。図中の3本の線は3つのセグメントトリニティにおけるφ60cmの土圧計により測定した結果である。後続トンネル通過時にリミングの右側部分の土圧増加が大きい。後続トンネル通過の影響と同一の土圧分布の変化は、必ず生ずると判断されるが、通常地山が乱されの場合には一時的には土圧分布の変化が生ずる(である)。

場所	地質	覆工種類	純間隔	鉛直圧	後続トンネル通過時の変化率	
London <sup>(1)</sup> (1961年)	ロードスルーパー上 (C=4.8%)	たわみ性大の セグメント式 (径D=4m)	2.3m	5.4	$\frac{\Delta D}{D} = 0.12\%$ (40日後 0.32%)	
London <sup>(2)</sup> (1961年)	同上	たわみ性大の 鋼製セグメント (径D=4m)	2.3	5.0	$\frac{\Delta D}{D} = 0.11\%$	
Toronto <sup>(1)</sup> (1964年)	ミル質粘土 粘土質テルル (C=0.4%)	ボルト締手鋼製 セグメント (径D=5.1m)	1.2	2.2	$\frac{\Delta D}{D} = 0.09\%$	
Toronto <sup>(2)</sup>	砂 粘土質テルル	同上	同上	2.8	$\frac{\Delta D}{D} = 0.12 \sim 0.35\%$	
Chicago <sup>(1940)</sup>	シカゴ粘土	ボルト締手鋼製 セグメント	2.2	0.8	後続トンネル通過時 $\frac{\Delta D}{D} = -0.1\%$ たゞ5日に亘り移行し、 最終は0.25%	
馬喰町	砂 一部風化土	平板形鍵骨組 セグメント(曲がり木)	(D=8.5m)	2.5	3.0	$\frac{\Delta D}{D} = 0.1\%$
浜松町	ミル質粘土 (N値=2)	平板形鍵骨組 セグメント(柱) (D=7.0m)		4.0	7.0	$\frac{\Delta D}{D} = 0.2\%$



(a) シールド通過前

(b) シールド通過後  
(右側)を通過)

## 計算結果

たわみ・断面力: 図-2 地盤係数(左)と左=0 の時の大

図-1 後続トンネル通過による土圧変化

かみを示す。計算は慣用計算法により、鉛直土圧  $30 \text{ kN/m}^2$  にて、内半径  $3.5 \text{ m}$ 、平板セメント厚  $30 \text{ cm}$  の場合を想定した。

曲げ剛性有効率(%)を  $0.2, 0.4, 0.6, 0.8, 1.0$  とした。大きさより小さな場合は地盤比で地盤剛性が大きく、大きさ以上の場合は地盤剛性の影響を受けて小さくなる。また、側方土圧係数(入)が  $0.75$  の時、地盤剛性による影響は  $0.5\%$  であり、入が  $0.05$  減少した場合ではリンクが更に  $0.4\%$  のため増加を示す。図-3 に断面力と入の関係を示す(慣用計算法による)。前述の変位の場合と同様に、地盤係数が  $1$  以下の場合の断面力の変化率が大きいが、これは土盤中の所設トンネルでは地盤剛性に注意すべきこと、トネル直間隔が小さい場合には後続トンネルの施工工種によって地山も乱す可能性があることである。状況により、2 つは地盤係数を期待しない場合、検討を設計時に行なうこととなる。

最大セシ断应力分布: 図-4 に地盤を完全弾塑性体と見なし、トネル直間隔を変えた場合の最大セシ断应力の分布を示す。トネル直間隔を  $6, 10, 18, 26 \text{ m}$  とし、地盤の端条件を 12 次有限要素を定めた: 变形係数 =  $40 + 6.9 \frac{\lambda}{\lambda_0}$ 、せん断剛度 =  $0.1 + 0.03 \frac{\lambda}{\lambda_0} \frac{\text{kg}}{\text{cm}^2}$  ( $\lambda$  は深さ  $\text{m}$ )、静止土圧係数 =  $0.43$ 、土の単位体積重量 =  $1.6 \text{ t}/\text{m}^3$ 。想定を簡略化の下、左端は横方向を固定とし、右端はトネルの軸を横方向を固定として、有限要素法を用いた。図示の応力分布はトネル挿削面の最大変位が  $10 \text{ cm}$  程度となる場合をもとであり、初期応力と挿削面の接点力を計算し、 $20\%$  を段階的に接点力に加えていく過程を得たものである。トネル直間隔が  $6 D$  の時にはトネル中間部の地山に生ずる応力集中は著しく、 $18 D, 26 D$  の時はほとんど差がない、中間部に応力集中が生じない。

あとがき

以上、主と 12 次ベキ級性地盤では、荷重の影響を側方土圧係数や地盤係数を仮定することによることで評価できると思われる。現状では、施工剛性、トネル直間隔、地盤条件を考慮できるよう现场測定データは多いが、未だ、施工力の測定結果を参考にせず、ある程度実用的量化できようである。

参考文献 1) Peck, R.B. et al (1969), "Design of Tunnel Liners and Support Systems", Univ. of Illinois  
2) Puddled, H. et al (1971), "Der gegenseitige Einfluss benachbarter Kreistunnel", Beton und Stahlbetonbau

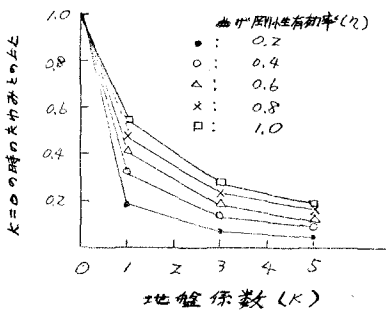


図-2 地盤係数とたわみ

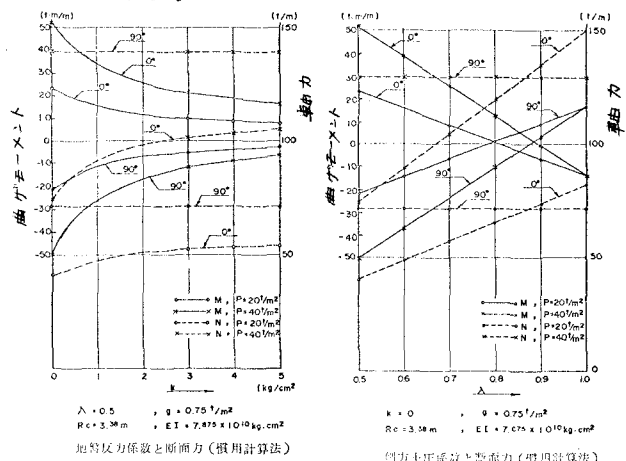


図-3 断面力と地盤係数、側方土圧係数

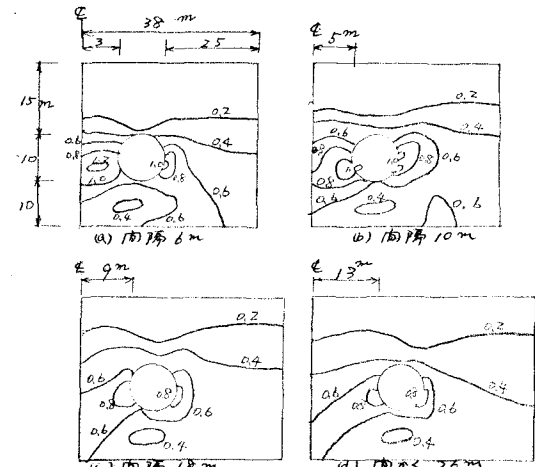


図-4 最大セシ断应力分布(単位: kg/cm²)